

論文97-34D-8-2

RF Magnetron Reactive Sputtering 법을 이용한 RuO₂ 박막의 제작과 특성에 관한 연구

(Preparation and Properties of RuO₂ Thin Films by Using
the RF Magnetron Reactive Sputtering)

姜聲俊 * , 張東勳 * , 尹英燮 * , 金東一 *

(Seong Jun Kang, Dong Hoon Jang, Yung Sup Yoon, and Dong Il Kim)

요 약

RF magnetron reactive sputtering 법으로 RuO₂ 박막을 제작하여, O₂/(Ar+O₂) 비와 기판온도에 따른 박막의 결정화 특성, 미세구조, 표면거칠기, 전기적 비저항을 조사하였다. O₂/(Ar+O₂) 비가 감소하고 기판온도가 증가함에 따라 RuO₂ 박막은 (110) 면에서 (101) 면으로 우선배향방향이 변하였다. O₂/(Ar+O₂) 비가 20%에서 50%로 증가함에 따라, RuO₂ 박막의 표면거칠기는 2.38 nm에서 7.81 nm로, 비저항은 103.6 $\mu\Omega\text{-cm}$ 에서 227 $\mu\Omega\text{-cm}$ 로 증가하는 추세를 나타내는 반면에, 중착속도는 47 nm/min에서 17 nm/min로 감소하였다. 기판온도가 상온에서 500°C로 증가함에 따라 비저항은 210.4 $\mu\Omega\text{-cm}$ 에서 93.7 $\mu\Omega\text{-cm}$ 로 감소하였고, 표면거칠기는 300°C에서 중착한 박막이 2.38 nm로 가장 우수하였다. 열처리 온도가 400°C에서 650°C로 증가함에 따라 비저항은 RuO₂ 박막의 결정성 향상으로 인해 감소하였다. 이를 결과로부터 O₂/(Ar+O₂) 비 20%, 기판온도 300°C에서 중착한 RuO₂ 박막의 표면거칠기 및 비저항 특성이 가장 우수하여 강유전체 박막의 하부전극으로 사용하기에 적합함을 알 수 있었다.

Abstract

RuO₂ thin films are prepared by RF magnetron reactive sputtering and their characteristics of crystallization, microstructure, surface roughness and resistivity are studied with various O₂/(Ar+O₂) ratios and substrate temperatures. As O₂/(Ar+O₂) ratio decreases and substrate temperature increases, the preferred growing plane of RuO₂ thin films are changed from (110) to (101) plane. With increase of the O₂/(Ar+O₂) ratio from 20 % to 50 %, the surface roughness and the resistivity of RuO₂ thin films increase from 2.38 nm to 7.81 nm, and from 103.6 $\mu\Omega\text{-cm}$ to 227 $\mu\Omega\text{-cm}$, respectively, but the deposition rate decreases from 47 nm/min to 17 nm/min. On the other hand, as the substrate temperature increases from room temperature to 500 °C, resistivity decreases from 210.5 $\mu\Omega\text{-cm}$ to 93.7 $\mu\Omega\text{-cm}$. RuO₂ thin film deposited at 300 °C shows a excellent surface roughness of 2.38 nm. As the annealing temperature increases in the range between 400 °C and 650 °C, the resistivity decreases because of the improvement of crystallinity. We find that RuO₂ thin film deposited at 20 % of O₂/(Ar+O₂) ratio and 300 °C of substrate temperature shows excellent combination of surface smoothness and low resistivity so that it is well qualified for bottom electrodes for ferroelectric thin films.

* 正會員, 仁荷大學校 電子材料工學科

(Dept. of Electronic Materials & Device Engineering,
Inha Univ.)

※ 이 논문은 1995년도 교육부 학술연구조성비 (신소재

분야) (Ministry of Education Research Fund for Advanced Materials in 1995)에 의하여 연구되었 습니다.

接受日字: 1997年5月2日, 수정완료일: 1997年7月1日

I. 서 론

최근에 우수한 유전특성 및 분극특성을 갖는 강유전체 박막들을 ULSI DRAM 과 FRAM (Ferroelectric RAM) 에 응용하려는 연구가 활발히 진행되고 있다^[1]. 그러나, silicon 위에 강유전체 박막을 사용하여 캐패시터를 만들 경우, 계면에 유전상수가 작은 silicon oxide 층이 형성되어 강유전체 특성을 저하시킨다^[2]. 따라서 강유전체 박막을 실제 메모리 소자에 응용하기 위해서 해결해야 할 가장 중요한 문제중의 하나가 전극물질의 개발이다. 현재 강유전체 박막의 하부전극으로 가장 많이 이용되고 있는 재료는 platinum (Pt) 인데, Pt 는 silicon 또는 silicon oxide 와 adhesion 이 좋지 않아서 후속 열처리 공정에서 박막이 떨어져 나오는 peeling 현상이 나타나기도 하고, 증착과정에서 발생하는 압축응력과 격자불일치에 의한 hillock 이 쉽게 형성된다^[3]. 이러한 hillock 은 캐패시터 단락의 주된 원인이 되어 소자의 신뢰성이라는 측면에서 매우 큰 약점으로 지적되고 있다. 또한 Pt 는 화학적으로 매우 안정하여 패턴형성시 식각공정이 어려운 문제점등이 제기되고 있다^[4]. 반면에 ruthenium oxide (RuO_2) 는 tetragonal rutile 구조 ($a = 4.4906 \text{ \AA}$, $c = 3.1064 \text{ \AA}$) 를 갖는 천이 금속 산화물로서 열적으로 안정하며 내부식성이 우수하다. 또 bulk 상태의 비저항이 $35.2 \mu\Omega \cdot \text{cm}$ 로 우수한 전기전도도를 나타내며, 산소와 silicon 에 대한 뛰어난 확산방지특성을 나타내기 때문에 강유전체의 하부전극으로 이용하기에 적합하다^[5]. 특히 RuO_2 를 FRAM 의 하부전극으로 이용하면 Pt 전극을 사용한 것에 비하여 매우 향상된 fatigue 특성을 나타내므로 FRAM 의 하부전극으로 주목받고 있다^[6-8]. RuO_2 박막을 강유전체의 하부전극으로 이용하기 위해서 위에 언급한 우수한 전기전도도, 확산방지 특성 이외에도 표면거칠기 (surface roughness) 를 고려해야한다. 강유전체 박막의 누설 전류 및 절연파괴 특성은 하부전극의 표면거칠기에 의해 상당히 큰 영향을 받기 때문에 매우 중요하나 이에 대한 연구는 아직 미흡한 실정이다. 따라서 본 연구에서는 RF magnetron reactive sputtering 법을 이용하여 RuO_2 박막의 제작시, 산소농도 및 기판온도가 RuO_2 박막의 미세구조, 결정성, 비저항과 특히 미세구조와 연관하여 표면거칠기에 미치는 영향을 조사하였다. 이를 바탕으로 우수한 특성의 RuO_2 박막 제작을

위한 증착조건을 확립하고자 하였다.

II. 실험방법

본 연구에서는 RF magnetron reactive sputtering 법을 이용하여 RuO_2 박막을 제작하였다. 실험에 사용된 RF magnetron sputtering 장치는 target 을 하부에 위치시키고 기판을 상부에 장착하도록 설계된 상향식이다. RuO_2 박막증착에 사용된 target 은 Ru metal (순도: 99.9%) 이고, 기판은 SiO_2 (1200 \AA) / p-type (100) Si 구조이다. 증착전에 기판의 표면에 존재할 수 있는 유기물의 제거를 위하여 TCE (trichloroethylene), aceton, isopropanol 그리고 D. I water 를 이용하여 세척을 한 후, 건조 N_2 gas 를 사용하여 기판을 건조시켰다. Ar 과 O_2 혼합비를 mass flow controller (MFC) 로 조절하여 O_2 /(Ar+ O_2) 비율 20, 30, 40, 50% 로 변화시켰다. 증착에 사용된 RF power 는 125W 이고, 기판온도는 기판을 가열하지 않은 경우에서부터 200, 300, 400, 500°C 까지 변화시켰다. 박막을 증착시키기 전의 초기 진공도는 3×10^{-6} torr 이하로 유지시켰으며, 작업 압력은 2×10^{-3} torr 로 일정하게 유지시켰다. 그 후, 원하는 증착조건에서 플라즈마의 안정을 위해 10 분간 presputtering 한 다음 RuO_2 박막을 증착시켰다. RuO_2 박막의 증착조건을 table 1 에 요약해서 나타내었다. 증착된 RuO_2 박막을 분위기 제어 없이 furnace 에서 후열처리하여 후열처리 온도에 따른 특성 변화도 조사하였다.

표 1. RuO_2 박막의 sputtering 조건

Table 1. Typical sputtering conditions for RuO_2 thin films.

Target	Ru (99.9%)
Substrate	SiO_2 (1200 \AA)/Si
Gun power (RF)	125W
Base pressure	$< 5 \times 10^{-6}$ Torr
Operating pressure	2 mTorr
Reactive gas mixture (O_2 /Ar+ O_2)	20% ~ 50%
Substrate temp.	RT ~ 500°C

RuO_2 박막의 결정화 특성은 X-Ray Diffractometer (PHILIPS PW 3020, CuK α) 를 이용하여 분석하였

고, 미세구조는 SEM 을 이용하여 관찰하였다. RuO₂ 박막의 두께는 α -step surface profilometer 와 SEM 을 이용하여 구하였고, 박막의 표면거칠기는 AFM 을 이용하여 관찰하였다. 비저항은 Four-point probe 를 이용하여 측정한 면저항에 RuO₂ 박막의 두께를 곱하여 구하였다.

III. 실험결과 및 논의

RuO₂ 박막의 배향성과 결정성을 조사하기 위해 박막용 XRD 를 사용하였다.

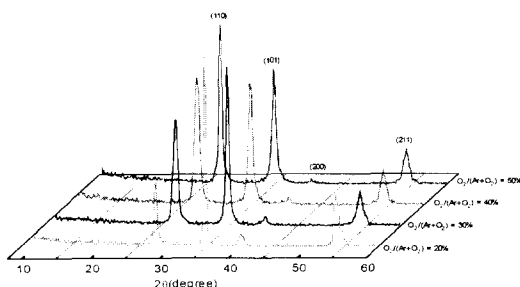


그림 1. O₂/(Ar+O₂) 비에 따른 RuO₂ 박막의 XRD pattern (기판온도 : 300°C)

Fig. 1. XRD patterns of RuO₂ thin films with various O₂/(Ar+O₂) ratios (substrate temperature : 300°C)

Fig. 1 은 기판온도를 300°C 로 고정시키고 O₂/(Ar+O₂) 의 비를 20, 30, 40, 50% 로 변화시켜 증착시킨 박막의 XRD pattern 이다. 모든 pattern 에서 금속 Ru 의 회절선은 나타나지 않고 RuO₂ 회절선만이 나타나는 것으로 보아 단일상의 RuO₂ 박막이 증착되었음을 알 수 있다. 또 O₂/(Ar+O₂) 의 비가 20% 에서 30% 사이에서는 (101) 면으로 RuO₂ 박막이 우선배향하며, 40% 를 넘어서면 (110) 면으로 우선배향 방향이 변화한다. 이와 같은 RuO₂ 박막의 우선배향성의 변화는 adatom 들의 mobility 에 상당히 큰 영향을 받게된다. 즉, 플라즈마를 구성하는 기체중에서 질량이 작은 산소의 양이 감소하면 상대적으로 질량이 큰 아르곤의 양이 증가하여, target 으로부터 sputtering 되어 기판에 도달하는 입자의 에너지가 높아지므로 기판상의 adatom 들의 mobility 가 증가하게 된다. 따라서, 산소의 양이 감소할수록 RuO₂ 박막의 우선배향 방향이 random 한 방향인 (110) 면에서,

보다 안정한 (101) 면으로 변하게 된다.

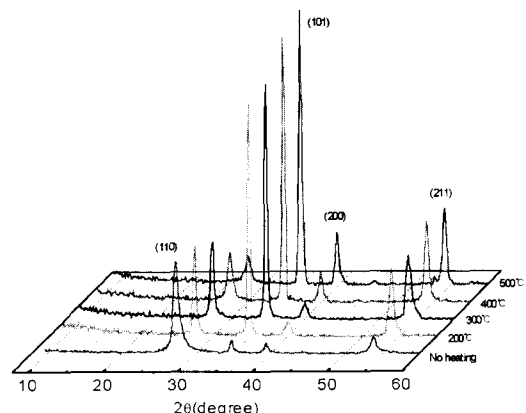


그림 2. 기판온도에 따른 RuO₂ 박막의 XRD pattern (O₂/(Ar+O₂) : 20%)

Fig. 2. XRD patterns of RuO₂ thin films with various substrate temperatures (O₂/(Ar+O₂) : 20%)

Fig. 2 는 O₂/(Ar+O₂) 의 비를 20% 로 고정시키고, 기판온도를 상온, 200, 300, 400, 500°C 로 변화시키며 증착시킨 박막의 XRD pattern 이다. 기판온도가 증가함에 따라 (110) 면의 peak 는 점차적으로 작아지는 반면에, (101) peak 는 점차 커진다. 증착된 박막의 우선배향성은 Fig. 1 에서 설명한데로 adatom 들의 mobility 에 의해서 영향을 받는다. 따라서 기판의 온도가 증가함에 따라 에너지가 높아지므로 기판상의 adatom 들의 mobility 가 증가하게 되고 RuO₂ 박막의 우선배향 방향이 random 한 방향인 (110) 면에서, 보다 안정한 (101) 면으로 변하게 된다.

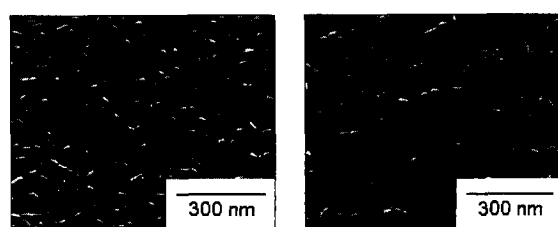


그림 3. O₂/(Ar+O₂) 비의 변화에 따라 증착된 RuO₂ 박막의 SEM 사진 : (a) 20%, (b) 50% (기판온도 : 300°C)

Fig. 3. SEM micrographs of RuO₂ thin film deposited with various O₂/(Ar+O₂) ratio : (a) 20% and (b) 50%, (substrate temperature : 300°C)

Fig. 3 은 기판온도를 300°C로 고정시키고 O₂/(Ar+O₂)의 비를 20%에서 50%로 변화시키며 증착시킨 박막의 SEM 사진을 나타낸 것이다. Fig. 2에서 보듯이, O₂/(Ar+O₂)의 비가 20%일 때, 박막의 grain size는 약 300~500Å이고 치밀도도 비교적 우수한 반면에 O₂/(Ar+O₂)의 비가 50%로 증가하면 박막의 grain size는 약 1000~1200Å로 증가하고 치밀도 및 표면거칠기가 불량해진다. 이와 같은 변화의 원인은 플라즈마를 구성하는 기체 중에 산소의 양이 적어지면, 상대적으로 질량이 큰 아르곤에 의해 sputtering 되는 입자가 많아지므로 기판에 도달하는 입자의 flux는 증가하고 그에 따라 핵생성을 높이 증가하여 grain size가 작은 박막이 증착된다. 이와 같이 산소양이 증가함에 따라 grain size가 증가하는 결과는 K. Sakiyama 등^[9]과 J. G. Lee 등^[10]이 보고한 내용과 일치한다.

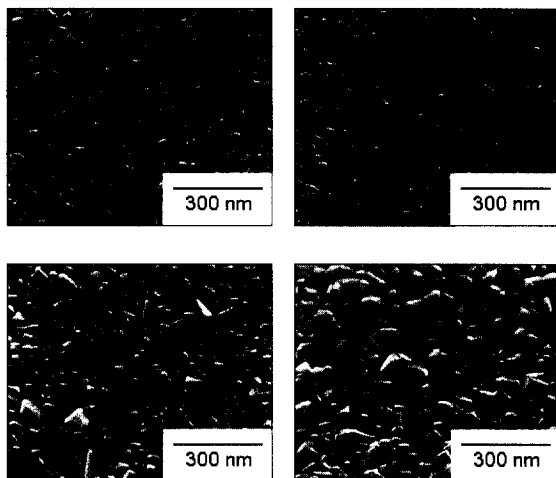


그림 4. 기판온도에 따른 RuO₂ 박막의 SEM 사진, (O₂/(Ar+O₂) : 20%) : (a) 상온, (b) 200°C, (c) 400°C and (d) 500°C

Fig. 4. SEM micrographs of RuO₂ thin films deposited with various substrate temperatures : (a) No heating, (b) 200°C, (c) 400°C, and (d) 500°C, (O₂/(Ar+O₂) ratio : 20%)

Fig. 4 는 O₂/(Ar+O₂)의 비를 20%로 고정시키고 기판온도를 상온에서 500°C로 변화시키며 증착시킨 박막의 SEM 사진이다. Fig. 4에서 보듯이 기판온도가 증가함에 따라 박막의 표면 morphology가 변화됨을 알 수 있다. 기판온도가 상온에서 300°C로 증가함에 따라 박막의 표면이 치밀해지는 것을 볼 수 있다. 그러나 기판온도가 400°C 이상이 되면 grain

들의 모양이 뾰족한 형태로 되며 크기도 커져 표면거칠기가 불량해진다. 이는 400°C 이상의 기판온도에서는 높은 열에너지로 인해 adatom들의 mobility가 높아져 이들이 열역학적으로 안정한 자리를 찾아갈 가능성이 커진다. 따라서 핵생성은 억제되는 반면에 입자성장이 촉진되기 때문이다.

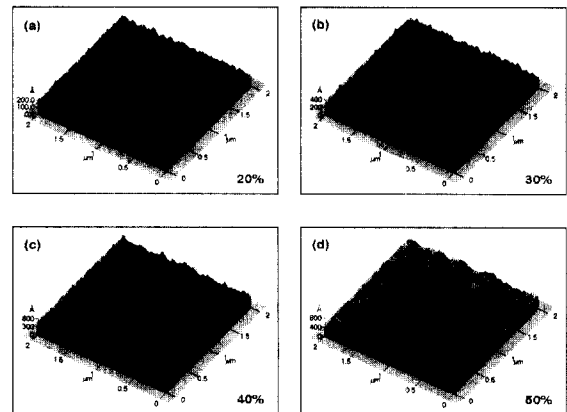


그림 5. O₂/(Ar+O₂) 비에 따른 RuO₂ 박막의 3-D AFM 사진 (기판온도 : 300°C) : (a) 20%, (b) 30%, (c) 40% and (d) 50%

Fig. 5. The 3-D AFM images of RuO₂ thin films deposited with various O₂/(Ar+O₂) ratios : (a) 20%, (b) 30%, (c) 40%, and (d) 50%. (substrate temperature : 300°C)

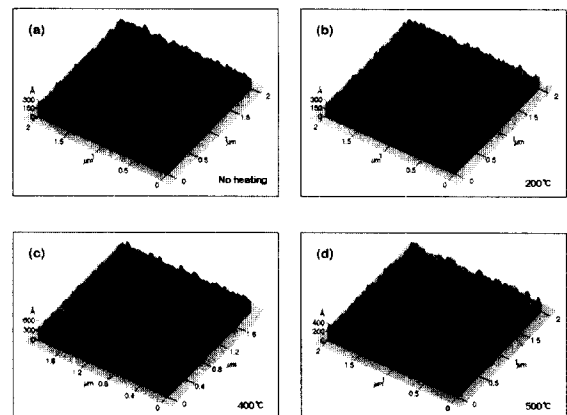


그림 6. 기판온도에 따른 RuO₂ 박막의 3-D AFM 사진 (O₂/(Ar+O₂) : 20%) : (a) 상온, (b) 200°C, (c) 400°C, (d) 500°C

Fig. 6. The 3-D AFM images of RuO₂ thin films deposited with various substrate temperatures (a) No heating, (b) 200°C, (c) 400°C, and (d) 500°C, (O₂/(Ar+O₂) : 20%)

RuO₂ 박막을 강유전체 박막의 하부전극으로 사용하기 위해서는 RuO₂ 박막의 표면거칠기가 매우 중요한

요소이다. 하부전극의 표면거칠기가 크면, 하부전극위에 증착되는 박막이 전 영역에 걸쳐 균일한 특성을 확보하기 어렵게 된다. 또 RuO₂ 박막을 실제 강유전체 박막의 하부전극으로 응용시, 상부에 증착되는 강유전체 박막의 두께가 매우 얇기 때문에 누설전류 및 절연파괴 특성에 악영향을 미친다. Fig. 5는 기판온도를 300°C로 고정시키고 O₂/(Ar+O₂)의 비를 20, 30, 40, 50%로 변화시키며 증착시킨 박막의 표면거칠기를 AFM으로 조사한 결과를 나타낸 것이다. Fig. 5에서 보듯이, O₂/(Ar+O₂)의 비가 20, 30, 40, 50%로 증가함에 따라, 박막의 표면거칠기 (RMS roughness)는 2.38 nm에서 7.81 nm로 증가하였다. 이는 SEM 사진에서도 보았듯이, O₂/(Ar+O₂)의 비에 따른 grain size의 증가가 박막의 표면거칠기에 직접적인 영향을 미친 결과라고 생각된다. 특히 O₂/(Ar+O₂)의 비가 20%에서 증착된 박막의 표면거칠기 (2.38 nm)는 기존의 논문^[10]에 보고된 결과에 비해서 우수한 결과이다.

Fig. 6은 O₂/(Ar+O₂)의 비를 20%로 고정시키고, 기판온도를 상온에서 500°C로 변화시키며 증착시킨 박막의 표면거칠기를 AFM으로 조사한 결과를 나타낸 것이다. 기판온도가 상온에서 300°C까지는 박막의 표면거칠기 (RMS roughness)가 3.25 nm에서 2.38 nm으로 감소하였으며 400°C, 500°C가 되면 표면거칠기가 각각 4.48 nm, 4.74 nm로 증가하였다. 이는 Fig. 4에 나타낸 SEM 사진에서의 설명과 잘 일치한다.

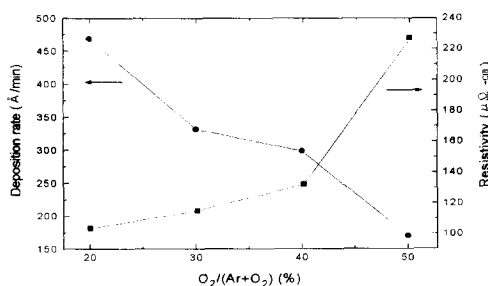


그림 7. O₂/(Ar+O₂) 비에 따른 RuO₂ 박막의 증착률과 비저항 (기판온도 : 300°C)

Fig. 7. The Deposition rate and the resistivity of RuO₂ thin film with various O₂/(Ar+O₂) ratios (substrate temperature : 300°C)

Fig. 7에 기판온도를 300°C로 고정시키고 O₂/(Ar+O₂)의 비를 20, 30, 40, 50%로 변화시키며

증착시킨 박막의 비저항과 증착속도를 나타내었다. 증착속도는 O₂/(Ar+O₂)의 비가 20%에서 50%로 증가함에 따라 47 nm/min에서 17 nm/min으로 감소하였다. 산소의 양이 감소함에 따라 증착속도가 증가하는 것은 플라즈마내의 산소양이 감소함에 따라 상대적으로 질량이 큰 아르곤의 양이 많아져서 target에 충돌하는 이온의 평균에너지가 증가하기 때문이다. RuO₂ 박막의 비저항은 O₂/(Ar+O₂)의 비가 20%에서 50%로 증가함에 따라 103.6 μΩ·cm에서 227 μΩ·cm으로 증가하였다. 이에 대한 원인은 크게 두 가지로 생각되는데, 첫째는 O₂/(Ar+O₂)의 비가 증가함에 따라 과잉의 산소가 grain boundary에 위치하여 scattering을 일으키기 때문에 전하의 이동도가 감소하기 때문이며^[11] 두 번째 이유는 SEM 사진에서 보았듯이 O₂/(Ar+O₂)의 비가 증가함에 따라 박막의 치밀도가 떨어지기 때문으로 생각된다.

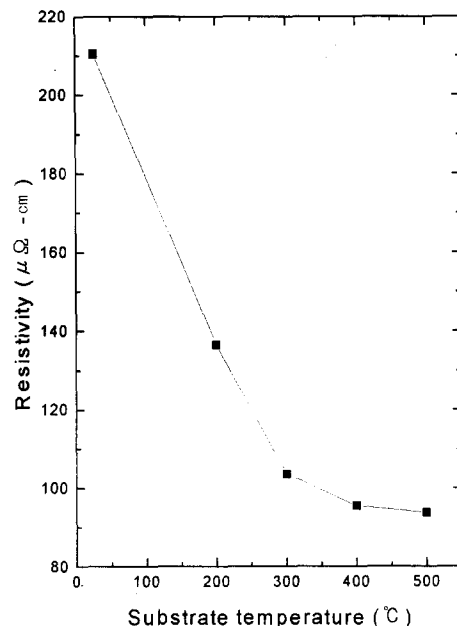


그림 8. 기판온도에 따른 RuO₂ 박막의 비저항 (O₂/(Ar+O₂) : 20%)

Fig. 8. The Resistivity of RuO₂ thin film with various substrate temperatures (O₂/(Ar+O₂) : 20%)

Fig. 8은 O₂/(Ar+O₂)의 비를 20%로 고정시키고, 기판온도를 상온에서 500°C로 변화시키며 300 nm 두께로 증착시킨 박막의 비저항의 변화를 나타낸

것이다. 상온에서 증착한 박막의 비저항은 $210.4 \mu\Omega\text{-cm}$ 로 매우 높았다. 기판온도가 상온에서 300°C 까지는 기판온도에 따라 비저항이 급속히 감소하였으나, 300°C 이상의 기판온도에서부터는 비저항의 감소추세가 완만하였으며 500°C 에서 증착한 박막의 비저항은 $93.7 \mu\Omega\text{-cm}$ 이었다. 이와 같이 기판온도가 증가함에 따라 비저항이 감소하는 것은 박막의 결정성이 향상되었기 때문이라고 생각된다.

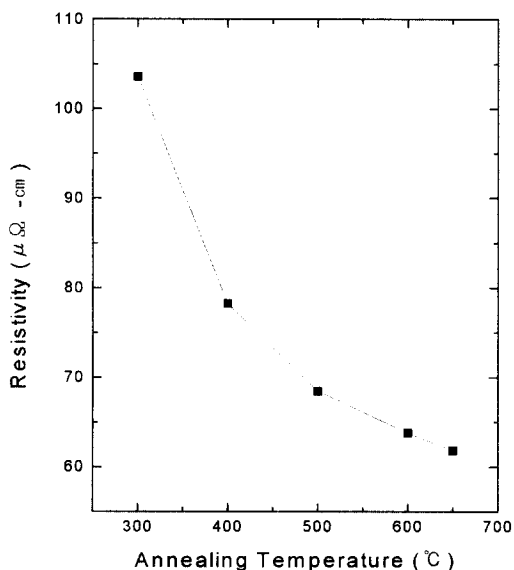


그림 9. Annealing 온도에 따른 RuO_2 박막의 비저항 ($\text{O}_2/(\text{Ar}+\text{O}_2)$: 20%, 기판온도 : 300°C)
Fig. 9. The Resistivity of RuO_2 thin film as a function of annealing temperature ($\text{O}_2/(\text{Ar}+\text{O}_2)$: 20%, substrate temperature : 300°C)

Fig. 9 는 $\text{O}_2/(\text{Ar}+\text{O}_2)$ 의 비를 20%, 기판온도를 300°C 로 하여 증착시킨 박막을 분위기 제어 없이 furnace 에서 30분 동안 후열처리 하였을 때 후열처리 온도에 따른 비저항의 변화를 나타낸 것이다. Fig. 9 에서 보듯이, 300°C 에서 증착한 박막의 비저항은 $103.6 \mu\Omega\text{-cm}$ 이었으나, 650°C 에서 후열처리 한 후 비저항은 $61.8 \mu\Omega\text{-cm}$ 로 감소하였다. 후열처리 온도가 증가함에 따라, 비저항이 감소하는 것은 박막의 결정성 향상에 기인하는 것으로 생각된다.

IV. 결 론

RF magnetron reactive sputtering 법으로 RuO_2 박막을 제작하여, $\text{O}_2/(\text{Ar}+\text{O}_2)$ 비와 기판온도에 따른

박막의 결정화 특성, 미세구조, 표면거칠기, 전기적 비저항을 조사하였다. XRD 를 이용하여 RuO_2 박막의 결정화 특성을 관찰한 결과, 모든 증착조건에서 RuO_2 단일상이 관찰되었고, $\text{O}_2/(\text{Ar}+\text{O}_2)$ 비가 감소하고 기판온도가 증가함에 따라 (110) 면에서 (101) 면으로 우선배향방향이 변하였다. 이는 adatom 들의 mobility 가 증가하기 때문이다. $\text{O}_2/(\text{Ar}+\text{O}_2)$ 비가 20%에서 50% 로 증가함에 따라, RuO_2 박막의 표면거칠기는 2.38 nm 에서 7.81 nm 로, 비저항은 $103.6 \mu\Omega\text{-cm}$ 에서 $227 \mu\Omega\text{-cm}$ 로 증가하는 추세를 나타내었다. 반면에 증착속도는 47 nm/min 에서 17 nm/min 로 감소하였다. 기판온도에 대해서는 상온에서 300°C 로 기판온도가 증가함에 따라 RuO_2 박막의 표면이 치밀해지지만 기판온도가 400°C 이상이 되면 입자성장이 촉진되기 때문에 grain 들의 모양이 뾰족한 형태로 되며 크기도 커지고 표면거칠기도 증가되었다. 그러나, 기판온도가 상온에서 500°C 로 증가함에 따라 RuO_2 박막의 결정성이 향상되어, 비저항은 $210.4 \mu\Omega\text{-cm}$ 에서 $93.7 \mu\Omega\text{-cm}$ 로 감소하였다. $\text{O}_2/(\text{Ar}+\text{O}_2)$ 의 비를 20%, 기판온도를 300°C 로 하여 증착시킨 박막을 분위기 제어 없이 furnace 에서 30분 동안 후열처리 하였을 때 후열처리 온도에 따른 비저항은 $78.3 \mu\Omega\text{-cm}$ 에서 $61.8 \mu\Omega\text{-cm}$ 로 감소하였다.

이상의 결과로부터, $\text{O}_2/(\text{Ar}+\text{O}_2)$ 비 20%, 기판온도 300°C 의 조건에서 증착한 RuO_2 박막이 표면거칠기가 2.38 nm 로 가장 우수하고 650°C 에서 후열처리 하였을 때 비저항도 $61.8 \mu\Omega\text{-cm}$ 로 비교적 작아 강유전체 박막의 하부전극으로 사용하기에 가장 적합함을 알 수 있었다.

참 고 문 헌

- [1] K. Suu, A. Osawa, N. Tani, M. Ishikawa, K. Nakamura, T. Ozawa, K. Sameshima, A. Kamisawa, and H. Takasu, "Preparation of $(\text{Pb}, \text{La})(\text{Zr}, \text{Ti})\text{O}_3$ ferroelectric films by RF sputtering on large substrate", Jpn. J. Appl. Phys., **35**, 9B, pp. 4967~4971 (1996).
- [2] K. Yoshikawa, T. Kimura, H. Noshiro, S. Ohtani, M. Yamada, and Y. Furumura, " RuO_2 thin films as bottom electrodes for

- high dielectric constant materials”, Mat. Res. Soc. Symp. Proc., **343**, pp. 511~516 (1994).
- [3] H. N. Al-shareef, K. D. Gifford, P. D. Hern, S. H. Rou, O. Auciello and A. I. Kingon, “Bottom electrodes for ferroelectric thin films”, Integrated Ferroelectrics., **3**, pp. 321~332 (1993).
- [4] 신웅철, 윤순길, “Hot-wall MOCVD 에 의한 RuO₂ 박막의 특성”, J. Kor. Ceram. Soc., **33**, 9, pp. 969~976 (1996)
- [5] L. Krusin-Elbaum, M. Wittmer, and D. S. Yee, “Characterization of reactively sputtered ruthenium dioxide for very large scale integrated metallization”, Appl. Phys. Lett., **50** (26), pp. 1879~1881 (1987).
- [6] H. Maiwa, N. Ichinose, and K. Okazaki, “Preparation and properties of Ru and RuO₂ thin film electrodes for ferroelectric thin films”, Jpn. J. Appl. Phys., **33**, 9B, pp. 5224~5226 (1994).
- [7] D. P. Vijay and S. B. Desu, “Electrodes for PbZr_xTi_{1-x}O₃ ferroelectric thin films”, J. Electrochem. Soc., **140**, 9, pp. 2640~2645 (1993).
- [8] K. Takemura, T. Sakuma, and Y. Miyasaka, “High dielectric constant (Ba, Sr)TiO₃ thin films prepared on RuO₂/sapphire”, Appl. Phys. Lett., **64** (22), pp. 2967~2969 (1994).
- [9] K. Sakiyama, S. Onishi, K. Ishihara, K. Orita, T. Kajiyama, N. Hosoda, and T. Hara, “Deposition and properties of reactively sputtered ruthenium dioxide films”, J. Electrochem. Soc., **140**, 3, pp. 834~839 (1993).
- [10] Jeong-gun Lee, Young Tae Kim, Suk-ki Min, Sung Ho Choh, “Effects of oxygen on the properties of reactively sputtered RuO_x thin films”, J. Appl. Phys., **77** (10), pp. 5473~5475 (1995).
- [11] L. Krusin-Elbaum, “Effect of oxygen on the electrical transprt in RuO₂”, Thin Solid Films, **169**, pp. 17~24 (1989).

저자 소개


金東一(正會員)

1933년 5월 6일생. 1962년 2월 서울대학교 물리학과 졸업(B.S.). 1967년 2월 서울대학교 물리학과 졸업(M.S.). 1975년 2월 인하대학교 응용물리학과 졸업(Ph.D.). 1979년 11월 ~ 1980년 11월 미국 Argonne 연구소 연구원. 1969년 2월 ~ 현재, 인하대학교 전자재료공학과 교수. 주관심분야는 Pyroelectric 센서, SAW Device, 압전박막, 초음파


尹英燮(正會員)

1952년 9월 7일생. 1975년 2월 서울대학교 금속공학과 졸업(B.S.). 1977년 2월 한국과학원 재료공학과 졸업(M.S.). 1988년 12월 U.S.C. 전자공학과 졸업(Ph.D.). 1987년 3월 ~ 1988년 5월 Oklahoma State University 대우교수. 1988년 12월 ~ 1989년 6월 UCLA Device Research Lab. 연구원. 1989년 8월 ~ 1992년 2월 삼성전자 기흥반도체연구소 수석연구원. 1996년 4월 ~ 현재 인하대학교 전자재료공학과 부교수. 주관심분야는 ULSI DRAM을 위한 신물질 개발, 강유전성 박막, Pyroelectric 센서, SAW Device


姜聲俊(正會員)

1965년 7월 10일생. 1989년 2월 인하대학교 응용물리학과 졸업(B.S.). 1994년 8월 인하대학교 전자재료공학과 졸업(M.S.). 1994년 9월 ~ 현재 인하대학교 전자재료공학과 박사과정. 주관심분야는 DRAM 및 NVFRAM 응용을 위한 강유전체 박막, Pyroelectric 센서


張東勳(正會員)

1971년 3월 13일생. 1995년 2월 수원대학교 전자재료공학과 졸업(B.S.). 1995년 3월 ~ 현재 인하대학교 전자재료공학과 석사과정. 주관심분야는 ULSI DRAM 응용을 위한 강유전체 박막